

## НАПРЯЖЕННОЕ СОСТОЯНИЕ РЕЖУЩЕГО ЗЕРНА АЛМАЗНОГО КРУГА ПРИ ШЛИФОВАНИИ

*В работе проведен анализ напряженного состояния режущего зерна (в форме конуса и шара) алмазного круга при шлифовании*

*В роботі наведено аналіз напруженого стану різучого зерна (в формі конусу і шару) алмазного круга при шліфуванні*

Эффективность применения алмазного шлифования при съеме относительно больших припусков труднообрабатываемых материалов обусловлена, главным образом, интенсивностью износа круга, который, как установлено в работах [1–4], связан с механическим разрушением режущих зерен. Поэтому при выборе оптимальных условий обработки важно знать закономерности разрушения зерен на основе исследований их напряженного состояния при резании. Данному вопросу посвящены работы [2, 5, 7, 8, 9], в которых предложены различные расчетные схемы напряженного состояния алмазных зерен. Однако в полном объеме задачи не решены. Цель работы – проведение дальнейших исследований формирования механических напряжений в алмазных зернах с использованием методов теории упругости.

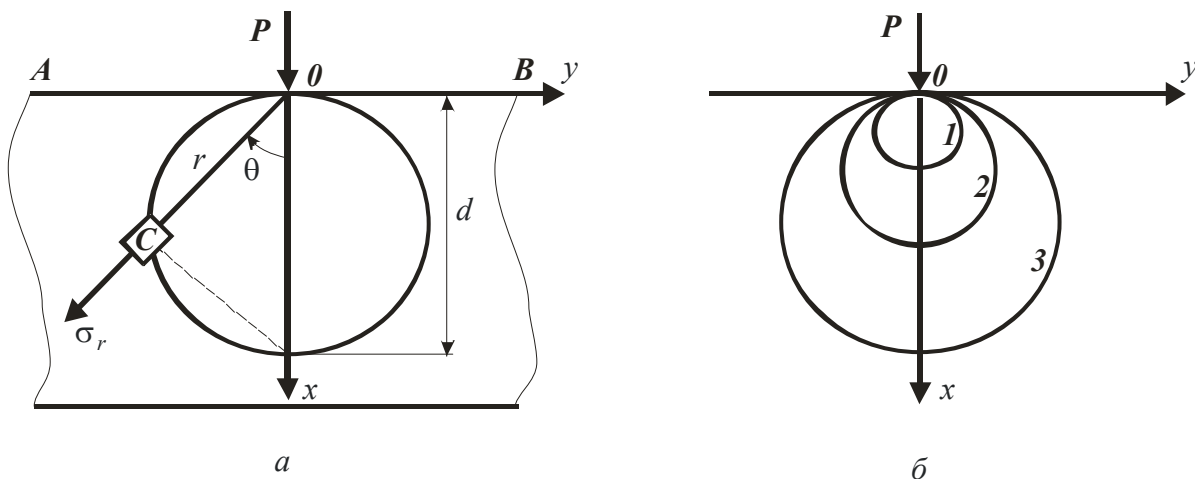


Рисунок 1 – Расчетная схема напряжений в полуплоскости (а) и положения окружностей одинаковых напряжений  $\sigma_r$  (б):  $\sigma_{r1} > \sigma_{r2} > \sigma_{r3}$ .

В работе [6] приведено фундаментальное решение о распределении компонент напряжений в полуплоскости (в точке С, рис. 1,а) от действия сосредоточенной силы  $P$  на прямолинейной границе полуплоскости (в полярной системе координат):

$$\sigma_r = -\frac{2 \cdot P \cdot \cos \theta}{\pi \cdot r}, \quad \sigma_\theta = 0, \quad \tau_{r\theta} = 0, \quad (1)$$

где  $\sigma_r$  и  $\sigma_\theta$  - соответственно нормальные компоненты напряжений в радиальном и окружном направлениях;  $\tau_{r\theta}$  - касательная компонента напряжений;  $r$  - радиус;  $\theta$  - угол.

При  $\theta=0$  и  $r=0$  выполняется условие  $\sigma_r \rightarrow \infty$ , т.е. из решения необходимо исключить точку приложения силы  $P$ . Из решения вытекает, что любой элемент  $C$ , расположенный на расстоянии  $r$  от точки приложения сосредоточенной силы  $P$ , подвергается простому сжатию в радиальном направлении. С увеличением  $\theta$  и  $r$  напряжение  $\sigma_r$  уменьшается.

Принимая  $r = d \cdot \cos \theta$  (где  $d$  - диаметр окружности с центром на оси  $OX$  и касательной к оси  $OY$  в точке  $O$ , рис.1,а), напряжение  $\sigma_r$  описывается

$$\sigma_r = -\frac{2 \cdot P}{\pi \cdot d} . \quad (2)$$

Следовательно, напряжение  $\sigma_r$  во всех точках окружности одинаково за исключением точки  $O$ , где  $\sigma_r \rightarrow \infty$ . Чем больше диаметр окружности  $d$ , тем меньше напряжение  $\sigma_r$ , рис. 1,б. Внутри окружности напряжение больше, чем снаружи.

Следовательно, напряжение  $\sigma_r$  во всех точках окружности одинаково за исключением точки  $O$ , где  $\sigma_r \rightarrow \infty$ . Чем больше диаметр окружности  $d$ , тем меньше напряжение  $\sigma_r$ , рис. 1,б. Внутри окружности напряжение больше, чем снаружи.

Определим напряжения в полуплоскости, возникающие от действия распределенной нагрузки на прямолинейной границе полуплоскости.

Предположим, на прямолинейную границу действует равномерно распределенная нормальная нагрузка интенсивностью  $q = P/l$ , рис. 2.

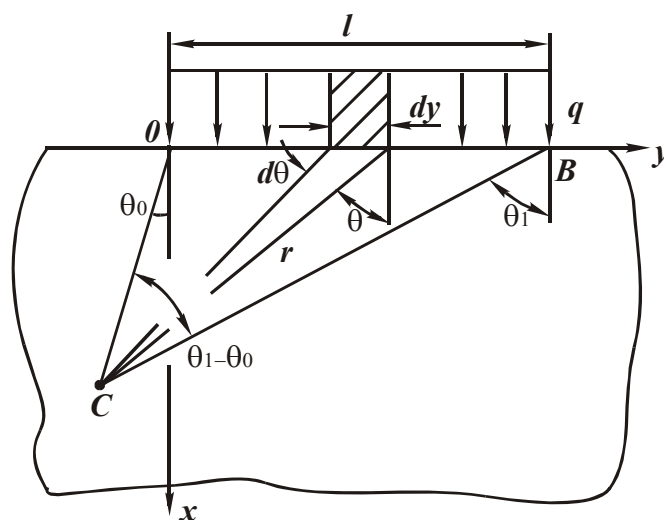


Рисунок 2 – Расчетная схема напряжений от действия распределенной нагрузки  $q$  на границе полуплоскости.

Напряжение  $d\sigma_r$ , от элементарной силы  $dP = q \cdot dy$  в точке  $C$  равно

$$d\sigma_r = -\frac{2 \cdot q \cdot dy \cdot \cos \theta}{\pi \cdot r}, \quad (3)$$

где  $dy = \frac{r \cdot d\theta}{\cos \theta}$  - элементарная площадка;  $d\theta$  - элементарный угол, тогда

$$d\sigma_r = -\frac{2 \cdot q}{\pi} \cdot d\theta. \quad (4)$$

Составляющая напряжения  $d\sigma_r$  в направлении линии ОС, расположенной под углом  $\theta_0$  к оси ОХ, равна

$$\overline{d\sigma_r} = d\sigma_r \cdot \cos(\theta - \theta_0) = -\frac{2 \cdot q}{\pi} \cdot \cos(\theta - \theta_0) \cdot d\theta. \quad (5)$$

Интегрируя  $\overline{d\sigma_r}$  в пределах  $\theta = \theta_0 \dots \theta_1$ , имеем

$$\sigma_r = -\frac{2 \cdot q}{\pi} \cdot \sin(\theta - \theta_0). \quad (6)$$

От зависимости (6) несложно перейти к зависимости (1). Для этого примем  $l = dy$  ( $l \rightarrow 0$ ), где  $dy = \frac{r \cdot d\theta}{\cos \theta}$ ;  $d\theta = \theta_1 - \theta_0$ , так как  $\theta_1 - \theta_0 \rightarrow 0$ .

Тогда с учетом  $\sin(\theta_1 - \theta_0) \approx \theta_1 - \theta_0$ ,  $q = \frac{P}{l}$  зависимость (6) принимает вид (1). При  $\theta_0 = 0$  напряжение  $\sigma_r$ , исходя из зависимости (6), равно

$$\sigma_r = -\frac{2 \cdot q}{\pi} \cdot \sin \theta_1. \quad (7)$$

С увеличением угла  $\theta_1$  от 0 до  $90^\circ$  напряжение  $\sigma_r$  возрастает от 0 до значения  $(-\frac{2 \cdot q}{\pi})$ . В отличие от решения, полученного для сосредоточенной силы, в данном решении напряжение  $\sigma_r$  принимает конечное значение.

Условно угол  $(\theta_1 - \theta_0)$  является углом треугольника, вписанного в окружность диаметром  $D_0$ . Основание треугольника равно  $l$ . Из планиметрии известно, что вписанный угол составляет половину центрального угла  $\varphi$ , опирающегося на ту же дугу окружности. Следовательно, все углы, опирающиеся на данную дугу, равны между собой.

Напряжение  $\sigma_r$  для данного угла  $\theta_1 - \theta_0$ , постоянно. Положения окружностей, определяемых из условия  $\theta_1 - \theta_0 = const$ , показано на рис. 3.

Максимальное напряжение достигается в точках полуокружности диаметром  $D = l$ . В точках О и В напряжение  $\sigma_r$  равно

$$\sigma_r = -\frac{2 \cdot q}{\pi}. \quad (8)$$

С увеличением нагрузки  $q$  напряжение  $\sigma_r$  возрастает. При достижении в

полуокружности диаметром  $D = l$  предельного напряжения  $\sigma_r = \sigma_{сж}$  (где  $\sigma_{сж}$  - предел прочности материала на сжатие, Па) произойдет разрушение материала в виде местного выкрашивания. Данный вид разрушения типичен для контактируемых поверхностей деталей машин.

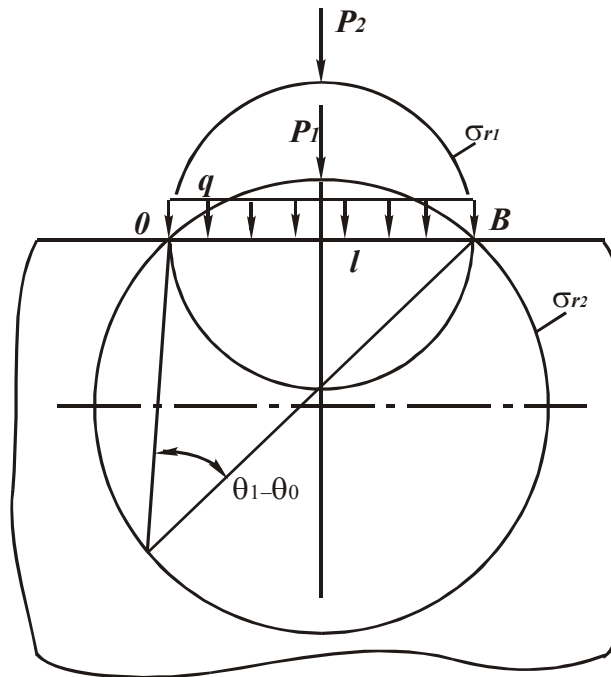


Рисунок 3 – Положения окружностей одинаковых напряжений ( $\sigma_{r1} > \sigma_{r2}$ ).

Нагрузка  $q$  должна как минимум в 1,57 раз превышать значение  $\sigma_{сж}$ .  
С учетом  $\varphi = 2 \cdot (\theta_1 - \theta_0)$  справедливо соотношение

$$\frac{l/2}{D/2} = \sin \frac{\varphi}{2} = \sin(\theta_1 - \theta_0) = \frac{l}{D}. \quad (9)$$

Тогда зависимость (6) принимает вид

$$\sigma_r = -\frac{2 \cdot q}{\pi} \cdot \frac{l}{D}. \quad (10)$$

Рассматривая  $q = P/l$ , приходим к решению (2) при условии  $D = d$ .

Применим полученные решения для расчета напряжений в режущей части зерна, представленной в форме усеченного конуса. Под действием сосредоточенной силы  $P$ , приложенной на площадке, удаленной от вершины зерна (вершины конуса) на некотором расстоянии, в зерне возникают нормальные напряжения, которые могут быть аналитически описаны окружностями одинаковых напряжений  $\sigma_r$  (рис. 4) в соответствии с зависимостью (2). Предположим, что в точках фиксированной окружности одинаковых напряжений, касающейся граней зерна, возникают предельные напряжения сжатия  $\sigma_{сж}$ . Тогда наиболее вероятным направлением образования сколов зерна будут прямые линии ОА и ОВ.

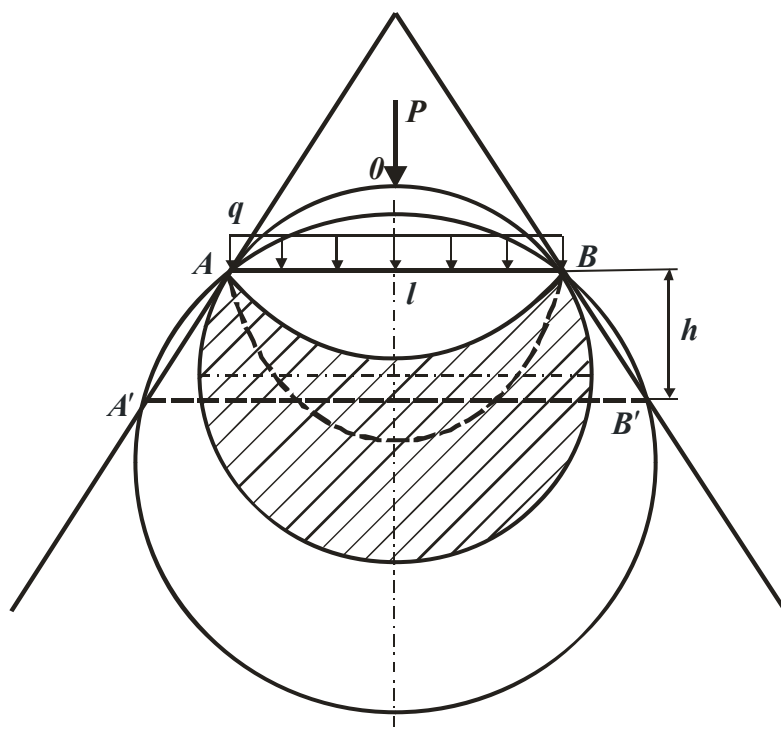


Рисунок 4 – Расчетная схема напряжений в зерне, представленном в виде конуса.

Положение линии одинаковых значений напряжения  $\sigma_r$  будет таким же и в случае действия распределенной нагрузки  $q = P/l$  на площадке зерна, проходящей через точки А и В. Предельные напряжения достигаются в заштрихованной области, ограниченной двумя дугами АВ окружности диаметром  $D$ , а наибольшие напряжения – в точках окружности диаметром  $l$  (пунктирная линия).

С увеличением распределенной нагрузки  $q$  диаметр окружности  $D$ , в точках которой достигаются предельные напряжения, увеличиваются. Это приведет к разрушению нижней части зерна толщиной  $h$  и перемещению площадки, на которой действует распределенная нагрузка  $q$ , в новое положение  $A'B'$ .

Учитывая то, что наибольшие напряжения  $\sigma_r$  достигаются в точках окружности диаметром  $D=l$ , расчет напряжений (в двухмерной системе координат) следует вести по зависимости (10) для случая  $D=l$ :

$$\sigma_r = \frac{2 \cdot q}{\pi} = \frac{2 \cdot P}{\pi \cdot l} \quad (11)$$

В трехмерной системе координат зависимость (11) примет вид:

$$\sigma_r = \frac{2 \cdot P}{\pi \cdot l^2} \quad (12)$$

Задавая значения  $\sigma_r = \sigma_{сжс}$  и  $l$ , из зависимости (12) можно определить предельную (разрушающую) силу  $P$ .

Исходя из упрощенного расчета сжатия силой  $P$  стержня толщиной  $l$ , напряжение в двухмерной системе координат определится:

$$\sigma = \frac{P}{l} \quad (13)$$

В трехмерной системе координат зависимость (13) выразится:

$$\sigma = \frac{P}{l^2}. \quad (14)$$

Как видим, отличие зависимостей (11) и (13), а так же зависимостей (12) и (14) не существенно, что позволяет в первом приближении использовать упрощенные зависимости (13) и (14).

Если рассматривать режущее зерно в форме шара (рис. 5), находящегося под действием сосредоточенной силы  $P$ , то при условии совпадения диаметра окружности одинакового напряжения  $\sigma_r = \sigma_{сж}$  с диаметром окружности, описывающей контур шара (зерна), произойдет его разрушение. В этом случае в зависимостях (11) и (12) необходимо принять  $l = \bar{X}$ , где  $\bar{X}$  – зернистость алмазного порошка, мкм.

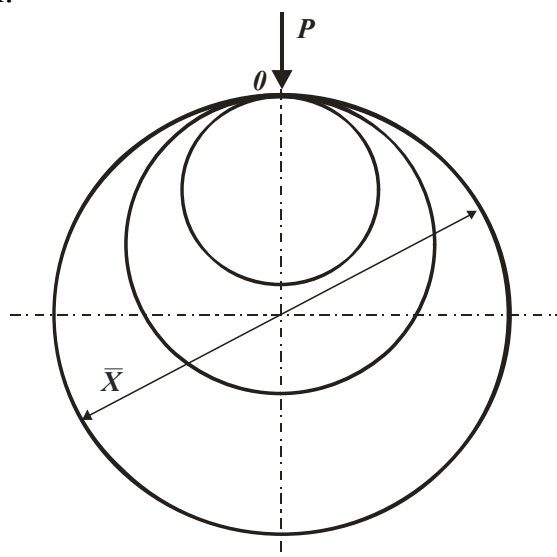


Рисунок 5 – Расчетная схема напряжений в зерне, представленном в виде шара.

Таким образом, в работе предложен подход к расчету напряжений в режущем зерне, представленном в форме конуса и шара, на основе методов теории упругости.

**Список литературы:** 1. Синтетические алмазы в машиностроении / Под ред. В.Н. Бакуля. – К.: Наук. думка, 1976. – 351 с. 2. Качество и производительность абразивно-алмазной обработки: Учебное пособие / А.В. Якимов, Ф.В. Новиков, Г.В. Новиков, А.А. Якимов. – Одесса: ОГПУ, 1999. – 212 с. 3. Грабченко А.И. Расширение технологических возможностей алмазного шлифования. – Харьков: Высш. шк., 1985. – 184 с. 4. Мишинаевский Л.Л. Износ шлифовальных кругов. – К.: Наук. думка, 1982. – 192 с. 5. Мишинаевский Л.Л., Федосеев О.Б. О механизме износа зерен шлифовальных кругов // Синтет. алмазы, вып. 1, 1979. – С. 34-38. 6. Тимошенко С.П., Гудьер Дж. Теория упругости. – Редакция физико-математической литературы. Изд. “Наука”. – 1975. – 576 с. 7. Физико-математическая теория процессов обработки материалов и технологии машиностроения / Под общей редакцией Ф.В. Новикова и А.В. Якимова. В десяти томах. – Т.1. “Механика резания материалов” – Одесса: ОНПУ, 2002. – 580 с. 8. Новиков Ф.В., Ковальчук А.Н. Условия разрушения режущих зерен алмазного круга при шлифовании // Вісник НТУ”ХП”, 2004, №44. – С. 111-117. 9. Теоретические основы резания и шлифования материалов: Учеб. пособие / А.В. Якимов, Ф.В. Новиков, Г.В. Новиков, Б.С. Серов, А.А. Якимов. – Одесса: ОГПУ, 1999. – 450 с.